

# СТАТИСТИЧЕСКИЙ АНАЛИЗ ПРОСТРАНСТВЕННЫХ ДИСКРИМИНАТОРОВ СДВИГА ДИНАМИЧЕСКИХ ФРАГМЕНТОВ ИЗОБРАЖЕНИЙ

Ю. С. Радченко, Е. В. Овчинников

Для оценки неизвестного параметра сдвига динамического фрагмента видеоизображения в работе используется алгоритм максимального правдоподобия, реализованный в виде пространственного дискриминатора. Показана возможность получения оценки параметра сдвига с меньшими вычислительными затратами по сравнению с известными алгоритмами. С целью исследования границ применимости предложенных численных алгоритмов к различным классам изображений проведено статистическое моделирование.

## ВВЕДЕНИЕ

Современные телекоммуникационные системы ориентированы на передачу мультимедийной информации, существенной частью которой являются статические и динамические видеоизображения. Использование, в частности, межкадровой корреляции динамических изображений позволяет синтезировать ряд алгоритмов устранения информационной избыточности видеопоследовательностей [1, 2], основанных на предсказании движения фрагментов изображений.

Пусть задано двумерное поле  $s(\vec{r}, t)$ ,  $\vec{r} = (x, y)$ , представляющее собой фрагмент пространственного сигнала в момент  $t$  в области  $\Omega_0$  (макроблок опорного кадра). В момент  $t + \Delta t$  в той же пространственной области  $\Omega_0$  наблюдается поле (анализируемый кадр)

$$\xi(\vec{r}, t + \Delta t) = s(\vec{r} - \vec{\tau}, t) + \eta(\vec{r}) \quad (1)$$

представляющее собой смесь полезного сигнала  $s(\vec{r} - \vec{\tau})$ , смещённого на неизвестный вектор  $\vec{\tau} = (\tau_x, \tau_y)$ , и флуктуирующей помехи  $\eta(\vec{r})$ . Введение такой помехи обусловлено её неотделимостью от оптико-электронного преобразования сигналов и передачи их по каналам связи. С другой стороны, использование статистического подхода позволяет убрать произвол в вопросе синтеза алгоритмов оценки параметра сигнала. Корректность такой модели обсуждалась, в частности, в [2]. В ходе обработки принятой реализации  $\xi(\vec{r})$  измеритель сдвига производит анализ поля (1) в подобласти  $\Omega \in \Omega_0$  (блок анализируемого кадра). В этом случае выражение (1) примет вид

$$\xi(\vec{r}) = s(\vec{r} - \vec{\tau}_0) + \eta(\vec{r}) \quad (2)$$

где  $\vec{\tau}_0$  — истинное значение неизвестного вектора сдвига. При обработке поля (2) необходи-

мо учитывать изменение формы сигнала  $s(\vec{r})$  при его сдвиге.

Существующие алгоритмы оценки вектора сдвига, основанные на оптимизационных методах поиска максимума некоторой целевой функции, приводят к весьма трудоёмким вычислительным процедурам. В данной работе синтезированы несколько вариантов алгоритма оценки вектора сдвига фрагмента динамического изображения в виде пространственного дискриминатора.

## ДВУМЕРНЫЕ СУБОПТИМАЛЬНЫЕ АЛГОРИТМЫ

Для формирования целевой функции используем алгоритм максимального правдоподобия, согласно которому требуется сформировать логарифм функционала отношения правдоподобия (ЛФOPP)

$$\Lambda(\vec{\tau}, \vec{\tau}_0) = \int_{\Omega} \xi(\vec{r}) v(\vec{r}, \vec{\tau}) d\vec{r} - \frac{1}{2} \int_{\Omega} s(\vec{r} - \vec{\tau}) v(\vec{r}, \vec{\tau}) d\vec{r} \quad (3)$$

и определить положение его максимума из системы уравнений правдоподобия

$$\begin{aligned} \left. \frac{\partial \Lambda(\vec{\tau}, \vec{\tau}_0)}{\partial \tau_x} \right|_{\vec{\tau}=\vec{\tau}_m} &= 0, \\ \left. \frac{\partial \Lambda(\vec{\tau}, \vec{\tau}_0)}{\partial \tau_y} \right|_{\vec{\tau}=\vec{\tau}_m} &= 0. \end{aligned} \quad (4)$$

В случае, если  $\eta(\vec{r})$  представляет собой гауссовский белый шум со спектральной плотностью мощности  $N_0/2$ , опорный сигнал  $v(\vec{r})$  может быть записан как  $v(\vec{r}, \vec{\tau}) = (2/N_0)s(\vec{r} - \vec{\tau})$ . Тогда выражение (3) может быть переписано в виде

$$\begin{aligned} \Lambda(\vec{\tau}, \vec{\tau}_0) &= \frac{2}{N_0} \int_{\Omega} \xi(\vec{r}) s(\vec{r} - \vec{\tau}) d\vec{r} - \\ &- \frac{1}{N_0} \int_{\Omega} (s(\vec{r} - \vec{\tau}))^2 d\vec{r}. \end{aligned} \quad (5)$$

Точное решение системы (4) наталкивается на существенные трудности математического характера. Используем численный алгоритм Ньютона—Рафсона, позволяющий получать оценку максимального правдоподобия неизвестного параметра сдвига итерационно, для приближенного решения системы (4). Разложив ЛФОП в ряд Тейлора с точностью до квадратичного члена

$$\begin{cases} d_{xx}(\tau_{m,x} - \tau_{\phi,x}) - d_{xy}(\tau_{m,y} - \tau_{\phi,y}) = -d_x \\ d_{xy}(\tau_{m,x} - \tau_{\phi,x}) - d_{yy}(\tau_{m,y} - \tau_{\phi,y}) = -d_y \end{cases}$$

и вводя для производных ЛФОП следующие обозначения

$$\begin{aligned} d_x(\bar{\tau}, \bar{\tau}_0) &= \partial\Lambda(\bar{\tau}, \bar{\tau}_0)/\partial\tau_x, \\ d_y(\bar{\tau}, \bar{\tau}_0) &= \partial\Lambda(\bar{\tau}, \bar{\tau}_0)/\partial\tau_y, \\ d_{xx}(\bar{\tau}, \bar{\tau}_0) &= \partial^2\Lambda(\bar{\tau}, \bar{\tau}_0)/\partial\tau_x^2, \\ d_{yy}(\bar{\tau}, \bar{\tau}_0) &= \partial^2\Lambda(\bar{\tau}, \bar{\tau}_0)/\partial\tau_y^2, \\ d_{xy}(\bar{\tau}, \bar{\tau}_0) &= \partial^2\Lambda(\bar{\tau}, \bar{\tau}_0)/(\partial\tau_x\partial\tau_y) = \\ &= \partial^2\Lambda(\bar{\tau}, \bar{\tau}_0)/(\partial\tau_y\partial\tau_x) \end{aligned}$$

можно получить один шаг итерационной процедуры Ньютона—Рафсона в виде

$$\begin{cases} \tau_{m,x} = \tau_{\phi,x} - \left( \frac{d_x(\bar{\tau}, \bar{\tau}_0)d_{yy}(\bar{\tau}, \bar{\tau}_0) - d_y(\bar{\tau}, \bar{\tau}_0)d_{xy}(\bar{\tau}, \bar{\tau}_0)}{d_{xx}(\bar{\tau}, \bar{\tau}_0)d_{yy}(\bar{\tau}, \bar{\tau}_0) - (d_{xy}(\bar{\tau}, \bar{\tau}_0))^2} \right) \Big|_{\bar{\tau}=\bar{\tau}_0} \\ \tau_{m,y} = \tau_{\phi,y} - \left( \frac{d_y(\bar{\tau}, \bar{\tau}_0)d_{xx}(\bar{\tau}, \bar{\tau}_0) - d_x(\bar{\tau}, \bar{\tau}_0)d_{xy}(\bar{\tau}, \bar{\tau}_0)}{d_{xx}(\bar{\tau}, \bar{\tau}_0)d_{yy}(\bar{\tau}, \bar{\tau}_0) - (d_{xy}(\bar{\tau}, \bar{\tau}_0))^2} \right) \Big|_{\bar{\tau}=\bar{\tau}_0} \end{cases} \quad (6)$$

Алгоритм (6) позволяет оценить неизвестный параметр сдвига с меньшими вычислительными затратами. Точное решение системы (4) задается в виде (6) для случая не более чем квадратичной зависимости  $\Lambda(\bar{\tau}, \bar{\tau}_0)$  от неизвестного параметра сдвига. Другие варианты решения системы (4) можно получить с использованием алгоритма Брауна

$$\tau_{m,x} = \tau_{\phi,x} - t_x, \quad \tau_{m,y} = \tau_{\phi,y} - t_y \quad (7)$$

где

$$\begin{aligned} t_y &= \frac{\Lambda'_y(\bar{\tau}_i, \bar{\tau}_0)\Lambda''_{xx}(\bar{\tau}_\phi, \bar{\tau}_0)}{\Lambda''_{xx}(\bar{\tau}_\phi, \bar{\tau}_0)\Lambda''_{yy}(\bar{\tau}_\phi, \bar{\tau}_0) - \Lambda''_{xy}(\bar{\tau}_\phi, \bar{\tau}_0)\Lambda''_{xy}(\bar{\tau}_i, \bar{\tau}_0)}, \\ t_x &= \frac{\Lambda'_x(\bar{\tau}_\phi, \bar{\tau}_0) - t_y\Lambda''_{xy}(\bar{\tau}_\phi, \bar{\tau}_0)}{\Lambda''_{xx}(\bar{\tau}_\phi, \bar{\tau}_0)}, \\ \bar{\tau}_i &= \{\tau_{\phi,x} - \Lambda'_x(\bar{\tau}_\phi, \bar{\tau}_0)/\Lambda''_{xx}(\bar{\tau}_\phi, \bar{\tau}_0); \tau_{\phi,y}\}, \end{aligned}$$

а также других численных методов [4].

Найдем характеристики полученных оценок. Для простоты вначале рассмотрим одномерный случай. Тогда система (4) преобразуется к виду

$$\tau_m = \tau_\phi - (d_1(\tau, \tau_0)/d_2(\tau, \tau_0)) \Big|_{\tau=\tau_\phi}, \quad (8)$$

где обозначения аналогичны сделанным выше. Выделив из ЛФОП сигнальную и шумовую компоненты, производные  $d_1(\tau, \tau_0), d_2(\tau, \tau_0)$  можно записать как

$$\begin{aligned} d_1(\tau, \tau_0) &= m_1(\tau, \tau_0) + \sigma_1(\tau)\eta_1, \\ d_2(\tau, \tau_0) &= m_2(\tau, \tau_0) + \sigma_2(\tau)\eta_2 \end{aligned}$$

где  $m_1(\tau, \tau_0), m_2(\tau, \tau_0), \sigma_1^2(\tau), \sigma_2^2(\tau_\phi)$  — математические ожидания и дисперсии соответствующих производных,  $\eta_1 = N'(\tau)/\sigma_1(\tau), \eta_2 = N''(\tau)/\sigma_2(\tau)$  — нормированные гауссовские случайные величины. Подробнее статистические свойства производных ЛФОП представлены в ПРИЛОЖЕНИИ, где производные  $d_1(\tau, \tau_0), d_2(\tau, \tau_0)$  выражены через АКФ сигнала  $\Psi_\Omega(\tau_1, \tau_2)$ . Тогда отношение  $d_1/d_2$  в (8), определяющее правило работы дискриминатора, запишется в виде

$$\begin{aligned} \frac{d_1(\tau, \tau_0)}{d_2(\tau, \tau_0)} &= \frac{m_1(\tau, \tau_0) + \sigma_1(\tau)\eta_1}{m_2(\tau, \tau_0) + \sigma_2(\tau)\eta_2} \approx \\ &\approx \frac{m_1(\tau, \tau_0)}{m_2(\tau, \tau_0)} + \frac{\sigma_1(\tau)}{m_2(\tau, \tau_0)}\eta_1 - \frac{m_1(\tau, \tau_0)\sigma_2(\tau)}{[m_2(\tau, \tau_0)]^2}\eta_2 \end{aligned}$$

а для характеристик оценки можно получить следующие выражения

$$\begin{aligned} m_m(\tau_\phi, \tau_0) &= \tau_\phi - m_1/m_2, \\ \sigma_m^2(\tau_\phi, \tau_0) &= (m_2)^{-2} \times ((\sigma_1)^2 + \\ &+ (m_1/m_2)^2(\sigma_2)^2 - 2K_{12}m_1/m_2), \end{aligned} \quad (9)$$

где аргументы  $\tau_\phi, \tau_0$  опущены для краткости записи. Если к сигнальной функции может быть применена параболическая аппроксимация, то оценка оказывается асимптотически несмещённой, а ее дисперсия в первом приближении совпадает с дисперсией эффективной оценки. Этот вывод в частном случае неэнергетичности неизвестного параметра сдвига совпадает с результатами в [3].

Рассуждая аналогично (8-9), можно получить характеристики двумерной оценки в виде

$$\begin{aligned} m_{m,x}(\bar{\tau}_\phi, \bar{\tau}_0) &= \tau_{\phi,x} - m_{xc}/m_2, \\ \sigma_{m,x}^2(\bar{\tau}_\phi, \bar{\tau}_0) &= (m_2)^{-2} \times \{(\sigma_x m_{yy})^2 + (\sigma_{yy} m_x)^2 + \end{aligned}$$

$$\begin{aligned}
 & +(\sigma_y m_{xy})^2 + (\sigma_{xy} m_x)^2 + (m_{xc} / m_z)^2 \times \\
 & \times ((\sigma_{xx} m_{yy})^2 + (\sigma_{yy} m_{xx})^2 + 2(\sigma_{xy} m_{xy})^2) + \\
 & + 2K_{x,y} m_{xy} m_{yy} - 2K_{x,xx} [m_{yy}]^2 m_{xc} / m_z + \\
 & + 2K_{x,xy} (2m_{xy} m_{yy} m_{xc} / m_z - m_y m_{yy}) + \\
 & + 2K_{x,yy} (m_x m_{yy} - m_{xx} m_{yy} m_{xc} / m_z) + \\
 & + 2K_{y,xx} m_{xy} m_{yy} m_{xc} / m_z - \\
 & - 2K_{y,xy} (2(m_{xy})^2 m_{xc} / m_z - m_y m_{xy}) - \\
 & - 2K_{y,yy} (m_x m_{xy} - m_{xx} m_{xy}) \},
 \end{aligned}$$

где аргументы  $\bar{\tau}_\phi, \bar{\tau}_0$  опущены для краткости записи. В случае слабой анизотропии, т.е. малости математического ожидания, дисперсии и корреляционных функций смешанных производных по сравнению с производными по одному параметру, формулы преобразуются к следующему виду:

$$\begin{aligned}
 m_{m,x}(\bar{\tau}_\phi, \bar{\tau}_0) &= \tau_{\phi,x} - m_x / m_{xx} \\
 \sigma_{m,x}^2(\bar{\tau}_\phi, \bar{\tau}_0) &= (m_{xx})^{-2} \times ((\sigma_x)^2 + (m_x / m_{xx})^2 (\sigma_{xx})^2 - \\
 & - 2K_{x,xx} m_x / m_{xx}) + 2(m_x \sigma_{yy} / m_{xx} m_{yy})^2.
 \end{aligned}$$

Видно, что даже в случае отсутствия анизотропии дисперсия оценки в двумерном случае не совпадает с (9).

### МОДЕЛИРОВАНИЕ АЛГОРИТМОВ

С целью исследования границ применимости численных методов решения системы (4) было проведено статистическое моделирование. В качестве модельного был взят сигнал  $s(\vec{t}) = \cos^2(3r^2)$ , где  $r^2 = x^2 + y^2$ . Область  $\Omega$  полагалась прямоугольной и равной  $\{-T, T\}; \{-T, T\}$ , где  $T = 1$ . При этом изменя-

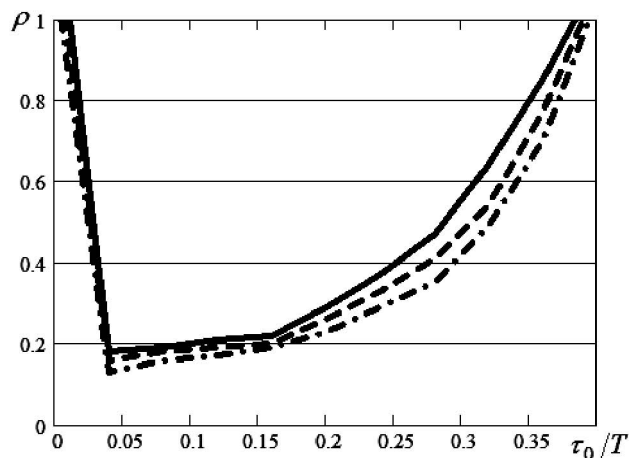


Рис. 1. По горизонтали: нормированная величина сдвига  $\tau_0/T$ . По вертикали: нормированный корень квадратный из рассеяния  $\rho$

лись отношение сигнал/шум (ОСШ)  $z_0^2 = \Psi_\Omega(\bar{\tau}_0, \bar{\tau}_0)$  на входе устройства обработки и величина сдвига сигнала по оси  $Ox$ . Сдвиг по оси  $Oy$  полагался постоянным и равным 0.1 величины размера области  $\Omega$ . Объем моделирования составил 1000 реализаций. На рис. 1 приведена зависимость величины относительного рассеяния  $\rho^2 = (\tau_m - \tau_0)^2 / (\tau_\phi - \tau_0)^2$  от сдвига при ОСШ равном 5, 10 и 20 дБ (сплошная, штриховая и штрихпунктирная линии соответственно). Рис. 2 соответствует зависимости величины относительного рассеяния от ОСШ при величине параметра сдвига в 0.1, 0.2 и 0.3 размера подобласти  $\Omega$ , порядок линий тот же. На рис. 3 изображены зависимости относительного рассеяния от ОСШ для случаев применения алгоритма Ньютона-Рафсона и алгоритма Брауна (сплошная и штриховая линии соответственно).

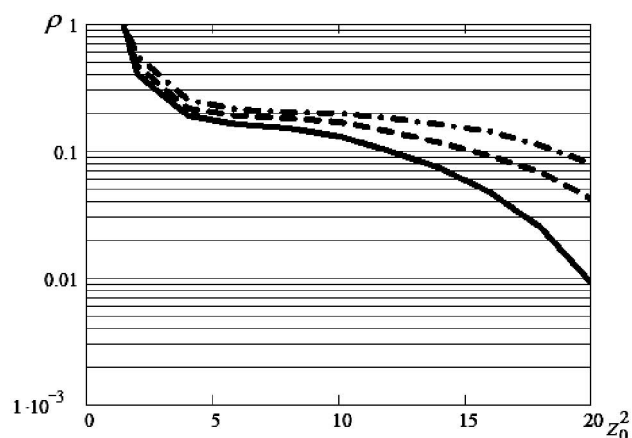


Рис. 2. По горизонтали: отношение сигнал/шум  $z_0^2$ . По вертикали: нормированный корень квадратный из рассеяния  $\rho$

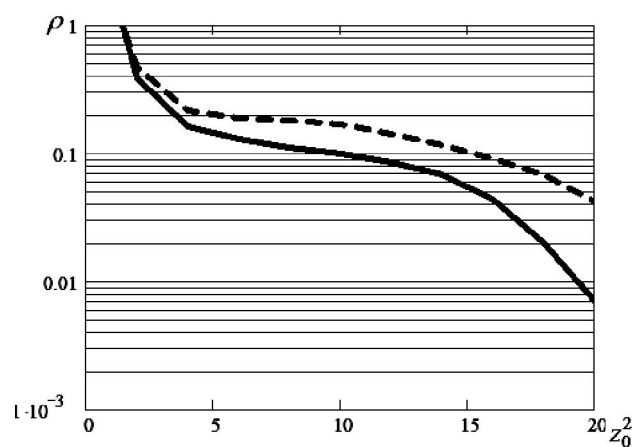


Рис. 3. По горизонтали: отношение сигнал/шум  $z_0^2$ . По вертикали: нормированный корень квадратный из рассеяния  $\rho$

Полученные значения рассеяния дают основание указать в качестве рабочей области алгоритма величины сдвига порядка 0,04—0,4 размера подобласти  $\Omega$ . Результаты моделиро-

вания также позволяют сделать обоснованный выбор в пользу того или иного алгоритма решения системы уравнений (4).

### ПРИЛОЖЕНИЕ

Параметры, используемые при расчете характеристик алгоритмов

$$\Psi_{\Omega}(\bar{\tau}_1, \bar{\tau}_2) = \frac{2}{N_0} \int_{\Omega} s(\bar{r} - \bar{\tau}_1) s(\bar{r} - \bar{\tau}_2) d\bar{r} \quad \text{— автокорреляционная функция сигнала.}$$

$z^2(\bar{\tau}) = \Psi_{\Omega}(\bar{\tau}, \bar{\tau})$  — ОСШ для произвольного параметра сдвига.

Параметры одномерного алгоритма Ньютона—Рафсона

$$m_1(\tau_{\phi}, \tau_0) = \langle \Lambda'(\tau, \tau_0) \rangle \Big|_{\tau=\tau_{\phi}} = \left( \partial [\Psi_{\Omega}(\tau, \tau_0) - \Psi_{\Omega}(\tau, \tau_{\phi})] / \partial \tau \right) \Big|_{\tau=\tau_{\phi}},$$

$$m_2(\tau_{\phi}, \tau_0) = \langle \Lambda''(\tau, \tau_0) \rangle \Big|_{\tau=\tau_{\phi}} = (\partial^2 [\Psi_{\Omega}(\tau, \tau_0) - \Psi_{\Omega}(\tau, \tau_{\phi})] / \partial \tau^2) \Big|_{\tau=\tau_{\phi}} - (\partial^2 [\Psi_{\Omega}(\tau_1, \tau_2)] / (\partial \tau_1 \partial \tau_2)) \Big|_{\tau_1=\tau_2=\tau_{\phi}},$$

$$\sigma_1^2(\tau_{\phi}) = \langle (\Lambda'(\tau, \tau_0) - m_1(\tau_{\phi}, \tau_0))^2 \rangle \Big|_{\tau=\tau_{\phi}} = (\partial^2 [\Psi_{\Omega}(\tau_1, \tau_2)] / (\partial \tau_1 \partial \tau_2)) \Big|_{\tau_1=\tau_2=\tau_{\phi}},$$

$$\sigma_2^2(\tau_{\phi}) = \langle (\Lambda''(\tau, \tau_0) - m_2(\tau_{\phi}, \tau_0))^2 \rangle \Big|_{\tau=\tau_{\phi}} = (\partial^4 [\Psi_{\Omega}(\tau_1, \tau_2)] / (\partial \tau_1^2 \partial \tau_2^2)) \Big|_{\tau_1=\tau_2=\tau_{\phi}},$$

$$K_{12}(\tau_{\phi}) = \langle (\Lambda'(\tau_1, \tau_0) - m_1(\tau_{\phi}, \tau_0)) (\Lambda''(\tau_2, \tau_0) - m_2(\tau_{\phi}, \tau_0)) \rangle \Big|_{\tau_1=\tau_2=\tau_{\phi}} = (\partial^3 [\Psi_{\Omega}(\tau_1, \tau_2)] / (\partial \tau_1 \partial \tau_2^2)) \Big|_{\tau_1=\tau_2=\tau_{\phi}},$$

Параметры двумерного алгоритма Ньютона—Рафсона

$$m_x(\bar{\tau}_{\phi}, \bar{\tau}_0) = \langle \Lambda'_{\tau_x}(\bar{\tau}, \bar{\tau}_0) \rangle \Big|_{\bar{\tau}=\bar{\tau}_{\phi}} = (\partial [\Psi_{\Omega}(\bar{\tau}, \bar{\tau}_0) - \Psi_{\Omega}(\bar{\tau}, \bar{\tau}_{\phi})] / \partial \tau_x) \Big|_{\bar{\tau}=\bar{\tau}_{\phi}}$$

$$m_y(\bar{\tau}_{\phi}, \bar{\tau}_0) = (\partial [\Psi_{\Omega}(\bar{\tau}, \bar{\tau}_0) - \Psi_{\Omega}(\bar{\tau}, \bar{\tau}_{\phi})] / \partial \tau_y) \Big|_{\bar{\tau}=\bar{\tau}_{\phi}},$$

$$m_{xx}(\bar{\tau}_{\phi}, \bar{\tau}_0) = \left( \frac{\partial^2 [\Psi_{\Omega}(\bar{\tau}, \bar{\tau}_0) - \Psi_{\Omega}(\bar{\tau}, \bar{\tau}_{\phi})]}{\partial \tau_x^2} \right) \Big|_{\bar{\tau}=\bar{\tau}_{\phi}} - \left( \frac{\partial^2 \Psi_{\Omega}(\bar{\tau}_1, \bar{\tau}_2)}{\partial \tau_{1,x} \partial \tau_{2,x}} \right) \Big|_{\bar{\tau}_1=\bar{\tau}_2=\bar{\tau}_{\phi}},$$

$$m_{xy}(\bar{\tau}_{\phi}, \bar{\tau}_0) = \left( \frac{\partial^2 [\Psi_{\Omega}(\bar{\tau}, \bar{\tau}_0) - \Psi_{\Omega}(\bar{\tau}, \bar{\tau}_{\phi})]}{\partial \tau_x \partial \tau_y} \right) \Big|_{\bar{\tau}=\bar{\tau}_{\phi}} - \left( \frac{\partial^2 \Psi_{\Omega}(\bar{\tau}_1, \bar{\tau}_2)}{\partial \tau_{1,x} \partial \tau_{2,y}} \right) \Big|_{\bar{\tau}_1=\bar{\tau}_2=\bar{\tau}_{\phi}},$$

$$m_{yy}(\bar{\tau}_{\phi}, \bar{\tau}_0) = \left( \frac{\partial^2 [\Psi_{\Omega}(\bar{\tau}, \bar{\tau}_0) - \Psi_{\Omega}(\bar{\tau}, \bar{\tau}_{\phi})]}{\partial \tau_y^2} \right) \Big|_{\bar{\tau}=\bar{\tau}_{\phi}} - \left( \frac{\partial^2 \Psi_{\Omega}(\bar{\tau}_1, \bar{\tau}_2)}{\partial \tau_{1,y} \partial \tau_{2,y}} \right) \Big|_{\bar{\tau}_1=\bar{\tau}_2=\bar{\tau}_{\phi}},$$

$$\sigma_x^2(\bar{\tau}_{\phi}) = \langle (\Lambda'_{\tau_x}(\bar{\tau}, \bar{\tau}_0) - m_x(\bar{\tau}_{\phi}, \bar{\tau}_0))^2 \rangle \Big|_{\bar{\tau}=\bar{\tau}_{\phi}} = (\partial^2 \Psi_{\Omega}(\bar{\tau}_1, \bar{\tau}_2) / (\partial \tau_{1,x} \partial \tau_{2,x})) \Big|_{\bar{\tau}_1=\bar{\tau}_2=\bar{\tau}_{\phi}},$$

$$\sigma_y^2(\bar{\tau}_{\phi}) = (\partial^2 \Psi_{\Omega}(\bar{\tau}_1, \bar{\tau}_2) / (\partial \tau_{1,y} \partial \tau_{2,y})) \Big|_{\bar{\tau}_1=\bar{\tau}_2=\bar{\tau}_{\phi}},$$

$$\sigma_{xy}^2(\bar{\tau}_{\phi}) = (\partial^4 \Psi_{\Omega}(\bar{\tau}_1, \bar{\tau}_2) / (\partial \tau_{1,x} \partial \tau_{2,x} \partial \tau_{1,y} \partial \tau_{2,y})) \Big|_{\bar{\tau}_1=\bar{\tau}_2=\bar{\tau}_{\phi}},$$

$$\sigma_{yy}^2(\bar{\tau}_{\phi}) = (\partial^4 \Psi_{\Omega}(\bar{\tau}_1, \bar{\tau}_2) / (\partial \tau_{1,y}^2 \partial \tau_{2,y}^2)) \Big|_{\bar{\tau}_1=\bar{\tau}_2=\bar{\tau}_{\phi}},$$

$$\sigma_{xx}^2(\bar{\tau}_{\phi}) = (\partial^4 \Psi_{\Omega}(\bar{\tau}_1, \bar{\tau}_2) / (\partial \tau_{1,x}^2 \partial \tau_{2,x}^2)) \Big|_{\bar{\tau}_1=\bar{\tau}_2=\bar{\tau}_{\phi}},$$

$$K_{x,y}(\bar{\tau}_{\phi}) = \langle (\Lambda'_{\tau_x}(\bar{\tau}_1, \bar{\tau}_0) - m_x(\bar{\tau}_{\phi}, \bar{\tau}_0)) (\Lambda'_{\tau_y}(\bar{\tau}_2, \bar{\tau}_0) - m_y(\bar{\tau}_{\phi}, \bar{\tau}_0)) \rangle \Big|_{\bar{\tau}_1=\bar{\tau}_2=\bar{\tau}_{\phi}} =$$

$$= (\partial^2 [\Psi_{\Omega}(\bar{\tau}_1, \bar{\tau}_2)] / (\partial \bar{\tau}_{1,x} \partial \bar{\tau}_{2,y})) \Big|_{\bar{\tau}_1=\bar{\tau}_2=\bar{\tau}_{\phi}},$$

$$\begin{aligned}
 K_{x,xx}(\bar{\tau}_\phi) &= \left( \frac{\partial^3 [\Psi_\Omega(\bar{\tau}_1, \bar{\tau}_2)]}{\partial \tau_{1,x} \partial \tau_{2,x}^2} \right) \Bigg|_{\bar{\tau}_1 = \bar{\tau}_2 = \bar{\tau}_\phi}, & K_{x,xy}(\bar{\tau}_\phi) &= \left( \frac{\partial^3 [\Psi_\Omega(\bar{\tau}_1, \bar{\tau}_2)]}{\partial \bar{\tau}_{1,x} \partial \bar{\tau}_{2,x} \partial \bar{\tau}_{2,y}} \right) \Bigg|_{\bar{\tau}_1 = \bar{\tau}_2 = \bar{\tau}_\phi}, \\
 K_{x,yy}(\bar{\tau}_\phi) &= \left( \frac{\partial^3 [\Psi_\Omega(\bar{\tau}_1, \bar{\tau}_2)]}{\partial \tau_{1,x} \partial \tau_{2,y}^2} \right) \Bigg|_{\bar{\tau}_1 = \bar{\tau}_2 = \bar{\tau}_\phi}, & K_{y,xx}(\bar{\tau}_\phi) &= \left( \frac{\partial^3 [\Psi_\Omega(\bar{\tau}_1, \bar{\tau}_2)]}{\partial \tau_{1,y} \partial \tau_{2,x}^2} \right) \Bigg|_{\bar{\tau}_1 = \bar{\tau}_2 = \bar{\tau}_\phi}, \\
 K_{y,xy}(\bar{\tau}_\phi) &= \left( \frac{\partial^3 [\Psi_\Omega(\bar{\tau}_1, \bar{\tau}_2)]}{\partial \bar{\tau}_{1,x} \partial \bar{\tau}_{2,x} \partial \bar{\tau}_{2,y}} \right) \Bigg|_{\bar{\tau}_1 = \bar{\tau}_2 = \bar{\tau}_\phi}, & K_{y,yy}(\bar{\tau}_\phi) &= \left( \frac{\partial^3 [\Psi_\Omega(\bar{\tau}_1, \bar{\tau}_2)]}{\partial \tau_{1,y} \partial \tau_{2,y}^2} \right) \Bigg|_{\bar{\tau}_1 = \bar{\tau}_2 = \bar{\tau}_\phi}.
 \end{aligned}$$

#### ЛИТЕРАТУРА

1. Цифровая обработка телевизионных и компьютерных изображений / сост. А. В. Дворкович [и др.]; под ред. Ю. Б. Зубарева, В. П. Дворковича. — М.: МЦНТИ, 1997. — 216 с.

2. Радченко Ю.С. Спектральные алгоритмы оценки параметров сдвига динамических фрагментов изображений / Ю. С. Радченко // Вестн. Воронеж.

гос. ун-та. сер. Физика, математика. — 2004. — № 2. — С. 86—89.

3. Куликов Е.И. Оценка параметров сигналов на фоне помех / Е. И. Куликов, А. П. Трифонов. — М.: Сов. радио, 1978. — 296 с.

4. Вержбицкий В.М. Основы численных методов: учебник для вузов / В. М. Вержбицкий. — М.: Высш. шк., 2002. — 840 с.